

## 三主応力試験における載荷方法の影響

九州大学工学部 正林 重徳 正落合 英俊  
学○井口 公一 学 山本 隆宣

## 1. はじめに

当研究室でこれまで用いてきた三主応力制御試験機においては、長方供試体( $97.44 \times 30.59 \times 30.59 \text{ mm}$ )に対して、最大、中間および最小の各主応力を、それぞれ剛な載荷板、軽金属板を介したプレッシャーバッグおよび三軸液圧圧というように、相異なる方法によって載荷している。従って、これまで応力経路の設定に当たっては、供試体の切出し方向を変えることによって常に最大主応力軸と剛板載荷軸を一致させ、 $\theta = 0^\circ \sim 60^\circ, 60^\circ \sim 120^\circ$  および  $120^\circ \sim 180^\circ$  のそれぞれ  $60^\circ$  の範囲に限って試験を行い、供試体形状の効果ならびに載荷方法の影響の排除を図ってきた。今回、 $\theta$  が各  $60^\circ$  の領域を越えた  $0^\circ \sim 180^\circ$  の範囲での連続的な応力経路を設定するため、正立方供試体( $57.37 \times 57.37 \text{ mm}$ )を用い、上記の相異なる 3 つの載荷方法の影響を調べ、応力経路の拡大が十分可能であることを明らかにした。

## 2. 供試体及び応力とひずみの表示法

供試体は、 $6.0 \text{ kgf/cm}^2$  まで段階的に圧密したカオリンを、 $57 \text{ cm}$  の立方体に切り出したものを使用した。供試体の表示に用いる座標は図-1に示すように圧密方向を X 軸とし、対応する主応力及び主ひずみは同図に示すとおりとする。また、π平面上のせん断応力の方向は、図-2に示すように X 軸から反時計回りにと、たて  $\theta$  で表わされ、 $\theta$  と各主応力の関係は(1)式で、中間主応力の相対的大さは Bishop の中間主応力係数  $b$  を用いて(2)式で表わされる。

$$\tan \theta = \sqrt{3}(\sigma_y - \sigma_z) / \{(\sigma_x - \sigma_y) + (\sigma_x - \sigma_z)\} \quad \dots (1) \quad b = (\sigma_2 - \sigma_3) / (\sigma_1 - \sigma_3) \quad \dots (2)$$

最大、中間、最小の各主応力を各々、 $\sigma_1$ 、 $\sigma_2$ 、 $\sigma_3$  で表わし、試験機における各主応力は、図-3に示すように鉛直方向に載荷台を上下させて剛板で載荷するものを $\sigma_a$ 、金属アレーを介したプレッシャーバッグで載荷するものを $\sigma_b$ 、セル内に満たした液圧で載荷するものを $\sigma_c$  と表示する。

## 3. 試験方法

載荷方法の影響を調べるための三主応力制御試験は、 $\theta = 0^\circ$  及び  $60^\circ$  ( $\sigma_1 = \sigma_x, \sigma_2 = \sigma_y, \sigma_3 = \sigma_z$  で表す) 3 つの CASE について実施した。各 CASE の制御方法は次に示すとおりである。

CASE 1：セル内の液圧( $\sigma_c$ )一定のもと、一定速度( $E_1 = 0.1 \text{ mm/min}$ )で剛板による $\sigma_a$ を載荷し、発生した $\epsilon_a$ とともにプレッシャーバッグによる $\sigma_b$ を制御する。

CASE 2：CASE 1 と同様にセル内の液圧( $\sigma_c$ )一定のもと、プレッシャーバッグによる $\sigma_b$ を載荷し、同時に発生した $\epsilon_b$ を検出してこのひずみ速度が一定( $E_2 = 0.1 \text{ mm/min}$ )となるよう $\sigma_b$ を制御する。この $\sigma_b$ より、載荷台を上下させて $\sigma_a$ を制御する。

CASE 3： $\sigma_b$ を CASE 2 と同様に制御しながら載荷し、この $\sigma_b$ をもとに $\sigma_a$ を、水銀ボットを上下させながら液圧を変化させて制御する。同時に、載荷台を上下させることにより $\sigma_c$ が一定になるよう制御する。

なお、発生した各主応力及び主ひずみの値は、5 秒間隔でマイコンに取り込まれ、同時に各載荷装置の制御すべき値が表示されるようになっているので、これを見ながら精度良く制御が行なえるようになっている。

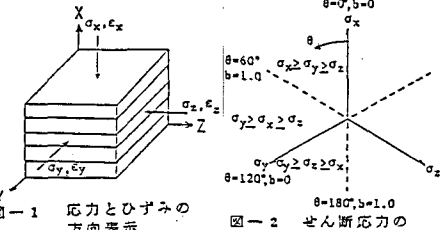


図-1 応力とひずみの方向表示

図-2 せん断応力の方向表示

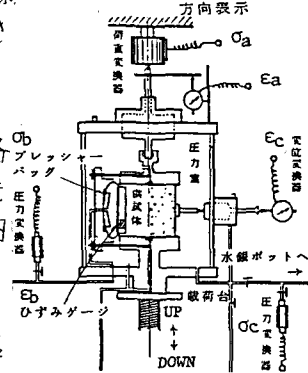


図-3 試験装置

表-1 載荷方法

	$\sigma, \epsilon$	$\sigma_1, \epsilon_1$	$\sigma_2, \epsilon_2$	$\sigma_3, \epsilon_3$
CASE	$\sigma_x, \epsilon_x$	$\sigma_y, \epsilon_y$	$\sigma_z, \epsilon_z$	
CASE 1	$\sigma_a, \epsilon_a$	$\sigma_b, \epsilon_b$	$\sigma_c, \epsilon_c$	
CASE 2	$\sigma_b, \epsilon_b$	$\sigma_a, \epsilon_a$	$\sigma_c, \epsilon_c$	
CASE 3	$\sigma_b, \epsilon_b$	$\sigma_c, \epsilon_c$	$\sigma_a, \epsilon_a$	

#### 4. 実験結果

図-4 (a)～(d)は各CASEの応力～ひずみ曲線を比較したものである。(a), (b)は  $b=0$  のCASE 1と、CASE 2,3を比較したものであるが、 $b=0$ においては  $\theta_b > \theta_a = 0^\circ$  となっているのでCASE 2とCASE 3は共通の試験となっている。 $b=0$ に関しては、初期応力から  $\gamma_{13}=12\%$  付近におけるピーク応力、さらにそれ以降の残留応力に到るまで2本の曲線間に顕著な差はみられない。これは他の最小主応力の試験のものについても同様のことといえている。次に(c), (d)は  $b=1$  におけるものであるが、(d)については  $\gamma_{13}=10\%$  付近以降各CASEの間に開きがみられる。これは残留応力の微妙な変化を  $\theta_b$  の制御がうまく捕えることができなかつたためである。一方(c)についてはうまく制御が行なえており、初期応力から残留応力に致るまで各CASEの間にほとんど差はみられない。したがって十分注意を払って制御すれば各CASEの応力～ひずみ関係に及ぼす載荷方法の影響は、十分排除することができる。

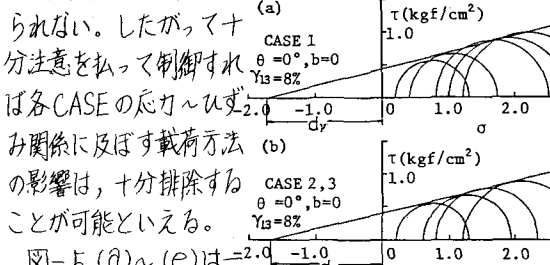
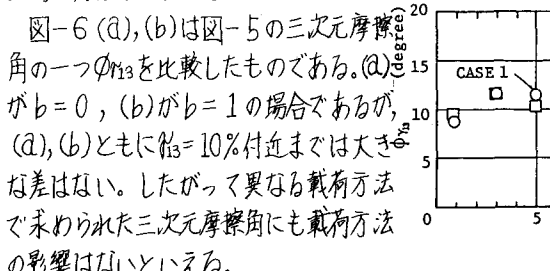


図-5 (a)～(e)は連続の試験結果より得られた  $\gamma_{13} = 8\%$  におけるモールの応力円である。(a), (b)が  $b=0$ 、(c), (d), (e)が  $b=1$  の場合のものである。それらのモール円にはCASEおよび  $b$  値にかかわらず等しい  $\theta$  軸切片を有する包絡線を精度良く引くことができ、これより三次元摩擦角を得ることができる。



#### 5. おわりに

今回行なった3種類の載荷方法による試験結果にそれらの間の差違は認められず、載荷方法の相違による影響は注意深い試験制御によって、十分排除することができた。したがって、これまで  $\theta$  が各  $60^\circ$  ( $\theta = 0^\circ \sim 60^\circ, 60^\circ \sim 120^\circ, 120^\circ \sim 180^\circ$ ) の範囲に限っていた応力経路は、 $\theta = 0^\circ \sim 180^\circ$  の範囲にわたって拡大することができる。  
 参考文献 1) 林：「土の三次元摩擦則とその応用に関する研究」 学位論文 2) 山内, 林, 木口：「異方圧密粘性土の三次元応力変形特性」 第19回土質工学研究発表会講演集, pp. 431～pp. 432 3) 林, 落合, 井口：「異方圧密粘性土の三次元応力変形特性に及ぼす応力経路の影響」 土木学会第40回年次学術講演会講演概要集第3部, pp. 479～pp. 480